

Dynamique et modélisation de la turbulence

2. Dynamique de la vorticit  et turbulence

Paola CINNELLA

paola.cinnella@sorbonne-universite.fr

QCM Wooclap – Notions introductives

<https://www.wooclap.com/NJBGCO>



WEB

- 1 Connectez-vous sur www.wooclap.com/NJBGCO
- 2 Vous pouvez participer



SMS

- 1 Pas encore connecté ? Envoyez **@NJBGCO** au **06 44 60 96 62**
- 2 Vous pouvez participer

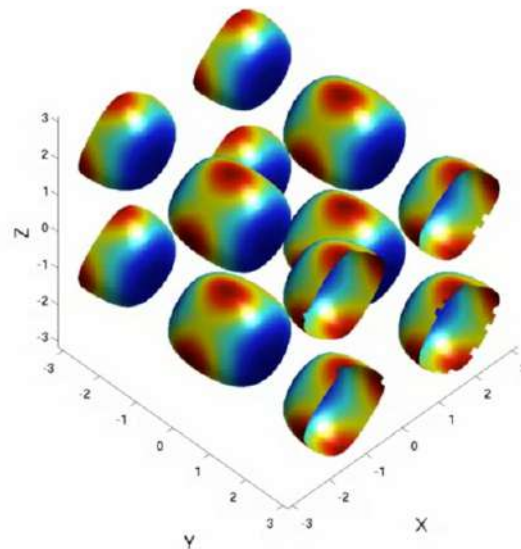
1. Equation de Helmholtz pour la vorticit 

Tourbillon de Taylor-Green

- Tourbillon 3D à $Re=1600$ caractérisé par les conditions initiales:

$$\begin{cases} u(x, y, z, 0) = \sin(x) \cos(y) \cos(z), \\ v(x, y, z, 0) = -\cos(x) \sin(y) \cos(z), \\ w(x, y, z, 0) = 0 \end{cases}$$

$$\begin{cases} \rho(x, y, z, 0) = 1, \\ p(x, y, z, 0) = p_0 + \frac{\rho}{16} [(\cos(2z) + 2)(\cos(2x) + \cos(2y)) - 2] \end{cases}$$



Visualisation d'une
iso-surface du « critère Q » :

$$Q = \frac{1}{2} (||\Omega||^2 - ||S||^2)$$

avec

$$\Omega = \frac{1}{2} (\nabla \mathbf{u} - \nabla \mathbf{u}^T) \rightarrow$$

Taux de rotation

$$\mathbf{S} = \frac{1}{2} (\nabla \mathbf{u} + \nabla \mathbf{u}^T)$$

→ Taux de déformation

$Q > 0 \rightarrow$ la rotation domine
par rapport à la déformation

Vorticité et taux de rotation

- Vecteur **vorticité** : $\boldsymbol{\omega} = \nabla \times \mathbf{u}$, $\omega_i = \epsilon_{ijk} \frac{\partial u_k}{\partial x_j}$, $\epsilon_{ijk} = \frac{1}{2}(i-j)(j-k)(k-i)$
- **Taux de rotation** : $\boldsymbol{\Omega} = \frac{1}{2}(\nabla \mathbf{u} - \nabla \mathbf{u}^T)$, $\Omega_{ij} = \frac{1}{2} \left(\frac{\partial u_i}{\partial x_j} - \frac{\partial u_j}{\partial x_i} \right) = -\frac{1}{2} \epsilon_{ijk} \omega_k$
- Pour un écoulement incompressible ($\nabla \cdot \mathbf{u} = 0$), il est possible d'introduire un **potentiel vecteur** \mathbf{A} du champ de vitesse, tel que : $\mathbf{u} = \nabla \times \mathbf{A}$
- Ce vecteur satisfait une équation de Poisson, dont le terme source est le vecteur vorticité :
 - $\boldsymbol{\omega} = \nabla \times \mathbf{u} = \nabla \times (\nabla \times \mathbf{A}) = \nabla(\nabla \cdot \mathbf{A}) - \nabla^2 \mathbf{A} = -\nabla^2 \mathbf{A}$ (le gradient d'une divergence est toujours nul), donc

$$\boxed{\nabla^2 \mathbf{A} = -\boldsymbol{\omega}} \rightarrow \text{Loi de Biot et Savart}$$

- **Conséquence** : le vecteur vorticité engendre un champ de vitesse \rightarrow vitesse induite
- Le champ de vorticité est solénoïdal par construction car $\nabla \cdot \boldsymbol{\omega} = \nabla \cdot (\nabla \times \mathbf{u}) \equiv 0$
 - Il en suit que $\int_V \nabla \cdot \boldsymbol{\omega} dV = \oint_{\partial V} \boldsymbol{\omega} \cdot \mathbf{n} dS = 0$

Loi de Biot & Savart (1820)

- Initialement introduite en électromagnétisme pour exprimer le champ magnétique induit par une distribution de courant
- Il est possible de déterminer une solution analytique de l'équation de Poisson sous forme d'une fonction de Green

$$\mathbf{A}(\mathbf{r}) = \frac{1}{4\pi} \int_V \frac{\boldsymbol{\omega}}{|\mathbf{r} - \mathbf{r}'|} d^3r'$$

- La vitesse est alors donnée par :

$$\mathbf{u} = \nabla \times \mathbf{A} = \frac{1}{4\pi} \nabla \times \int_V \frac{\boldsymbol{\omega}}{|\mathbf{r} - \mathbf{r}'|} d^3r' = \frac{1}{4\pi} \int_V \frac{\boldsymbol{\omega} \times (\mathbf{r} - \mathbf{r}')}{|\mathbf{r} - \mathbf{r}'|^3} d^3r'$$

→ Il existe une relation non locale entre la vitesse et la vortacité

La vitesse en un point d'un écoulement dépend d'une **distribution de tourbillons** sur un volume fluide

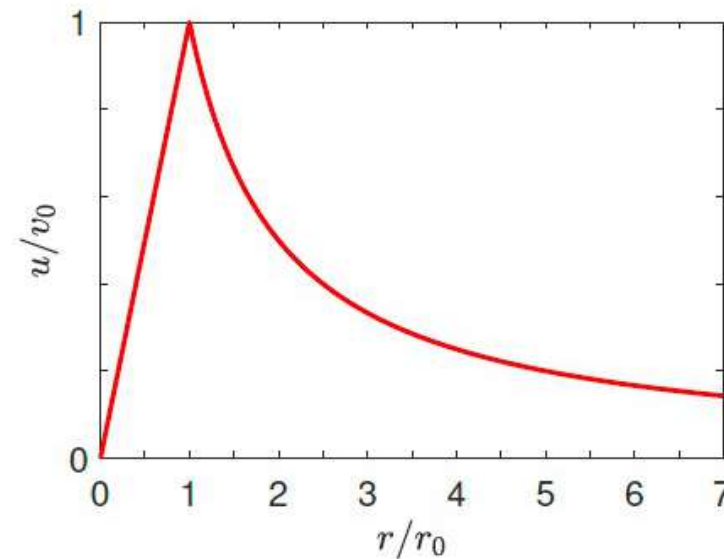
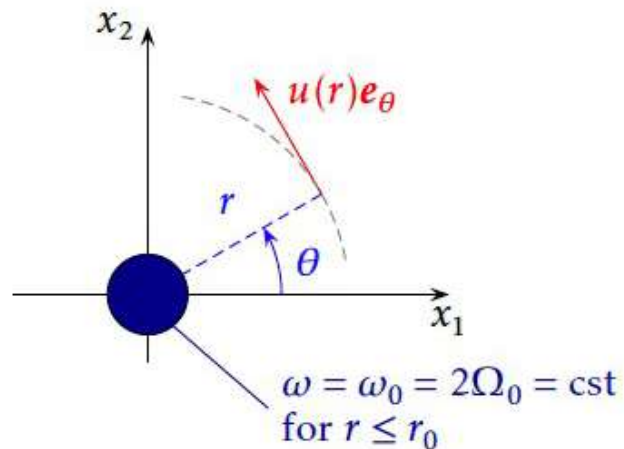
Exemple : tourbillon de Rankine

- Rotation de corps rigide à l'intérieur du tourbillon, écoulement potentiel à l'extérieur

$$\begin{cases} u(r) = v_0 \frac{r}{r_0} = \Omega_0 r & r \leq r_0 \\ u(r) = v_0 \frac{r_0}{r} = \Omega_0 r_0 \frac{r_0}{r} & r > r_0 \end{cases}$$

$$(v_0 = \Omega_0 r_0 = \omega_0 r_0 / 2)$$

- Champ de vitesse induite par la vorticité localisée dans le cœur

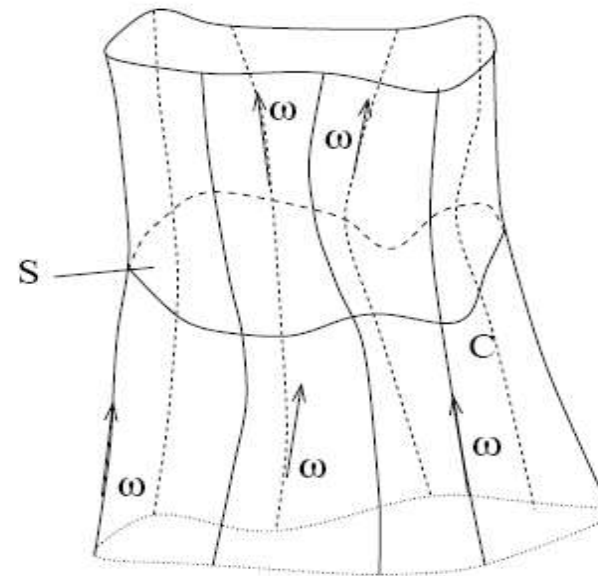


Lignes de vorticit 

- On appelle **ligne de vorticit ** ou filament tourbillonnaire la famille de courbes qui,   un instant donn , est en tout point tangente au vecteur vorticit  : $d\mathbf{l} \times \boldsymbol{\omega} = 0$ avec $d\mathbf{l}$ l' l ment de courbe
- On appelle **tube de vorticit ** l'enveloppe de toutes les lignes de vorticit  s'appuyant sur une m me courbe de l'espace ferm e
 - Les lignes de vorticit  sont ferm es sur elles-m mes ou s' tendent jusqu'  l'infini



Anneau de vorticit   mis par le Volcan Stromboli en Sicile



Théorème de Kelvin

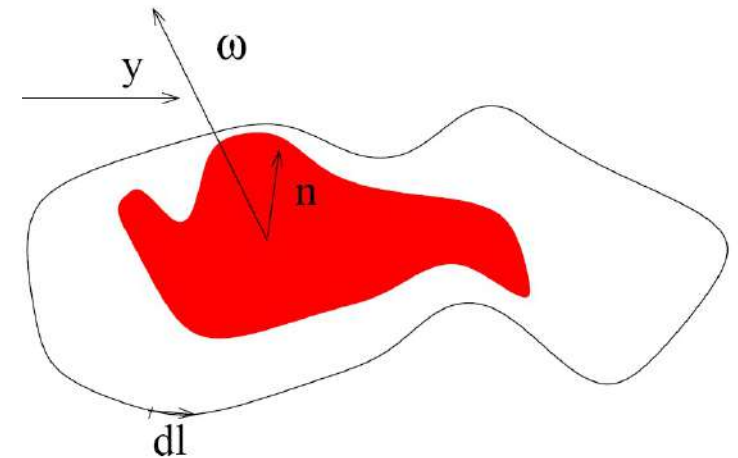
- On introduit la circulation du champs de vitesse :

$$\Gamma = \oint_{\partial S} \mathbf{v} \cdot d\mathbf{l} \stackrel{\text{Stokes' Theorem}}{=} \int_S \boldsymbol{\omega} \cdot \mathbf{n} dS$$

- Pour un écoulement incompressible (ou barotrope), soumis à des forces de masse conservatives et pour lequel les forces visqueuses sont négligeables, on peut écrire :

$$\begin{aligned} \frac{D\Gamma}{Dt} &= \frac{d}{dt} \oint_{\partial S} \mathbf{v} \cdot d\mathbf{l} = \oint_{\partial S} \frac{D\mathbf{v}}{Dt} \cdot d\mathbf{l} + \oint_{\partial S} \mathbf{v} \cdot \frac{D(d\mathbf{l})}{Dt} = \\ &= \oint_{\partial S} -\nabla \left(\frac{p}{\rho} + P \right) \cdot d\mathbf{l} + \oint_{\partial S} \mathbf{v} \cdot d\mathbf{v} = \oint_{\partial S} d \left(-\frac{p}{\rho} - P + \frac{|\mathbf{v}|^2}{2} \right) \equiv 0 \end{aligned}$$

→ **La circulation autour d'une courbe matérielle se conserve**



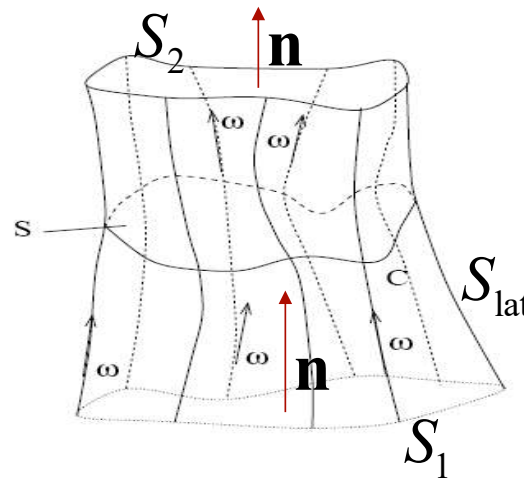
I Théorème d'Helmholtz

- L'intensité (circulation) d'un tube de vorticit  est constante le long du tube

$$\nabla \cdot \omega \equiv 0 \Rightarrow$$

$$\int_V \nabla \cdot \omega dV = \int_{S_{\text{lat}}} \omega \cdot \mathbf{n} dS + \int_{S_2} \omega \cdot \mathbf{n} dS - \int_{S_1} \omega \cdot \mathbf{n} dS = 0$$

$$\Rightarrow \int_{S_2} \omega \cdot \mathbf{n} dS = \int_{S_1} \omega \cdot \mathbf{n} dS = cte \Rightarrow \Gamma_2 = \Gamma_1 = cte$$



II Théorème de Helmholtz

- **Un tube de vorticit  est un tube mat riel (donc imperm able)**

Preuve : par d finition de tube de vorticit 

$$\int_{S_{\text{lat}}} \boldsymbol{\omega} \cdot \mathbf{n} dS = 0$$

car si une particule pouvait traverser la surface lat rale du tube, elle produirait un flux de vorticit  non nul, ce qui est en contradiction avec la d finition.

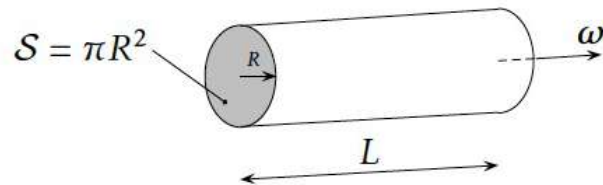
III Théorème de Helmholtz

- L'intensité d'un tube de vorticit  d'un  coulement incompressible ou barotrope, non visqueux et soumis   des forces conservative se conserve dans le temps

Preuve: en cons quence du th or me de Kelvin, pour toute section du tube nous avons

$$\frac{D\Gamma}{Dt} = 0$$

Cons quence : pour un tube de vorticit 



- conservation of circulation Γ , $R^2\omega = \text{cst}$
- conservation of mass, $\rho\pi R^2L \sim R^2L = \text{cst}$

$$\Gamma = \oint_C \mathbf{u} \cdot d\mathbf{l} = \int_S \boldsymbol{\omega} \cdot d\mathbf{x} = \pi R^2 \omega$$

Si un tube s' tire, sa section diminue et la vorticit  augmente \rightarrow m canisme de **vortex stretching**

Energie cin tique du tourbillon : $\mathcal{E}_c = \rho\pi R^2 L \frac{R^2 \omega^2}{2} \sim \underbrace{R^2 L}_{\text{cst}} R^2 \omega \omega \Rightarrow \mathcal{E}_c \sim \omega \sim \frac{1}{R^2} \sim L$

\rightarrow Le tourbillon s' tire, l' nergie cin tique augmente \rightarrow transfert d' nergie vers les petits tourbillons

Equation de transport de la vorticit  ( quation de Helmholtz)

- On d rive une  quation de transport pour la vorticit  en prenant le rotationnel de l' quation de quantit  de mouvement

$$\nabla \times \left(\frac{\partial \mathbf{v}}{\partial t} + \boldsymbol{\omega} \times \mathbf{v} \right) = -\nabla \times \left(\frac{1}{\rho} \nabla p + \nabla \left(\frac{|\mathbf{v}|^2}{2} \right) + \nabla U + \nu \nabla^2 \mathbf{v} \right)$$

- Le rotationnel d'un gradient est toujours nul \rightarrow termes **rouges**   droite

- Par ailleurs :

$$\nabla \times (\boldsymbol{\omega} \times \mathbf{v}) \stackrel{\text{vectorial identity}}{=} \boldsymbol{\omega} \nabla \cdot \mathbf{v} - \mathbf{v} \nabla \cdot \boldsymbol{\omega} + \mathbf{v} \cdot \nabla \boldsymbol{\omega} - \boldsymbol{\omega} \cdot \nabla \mathbf{v} \quad \text{where}$$

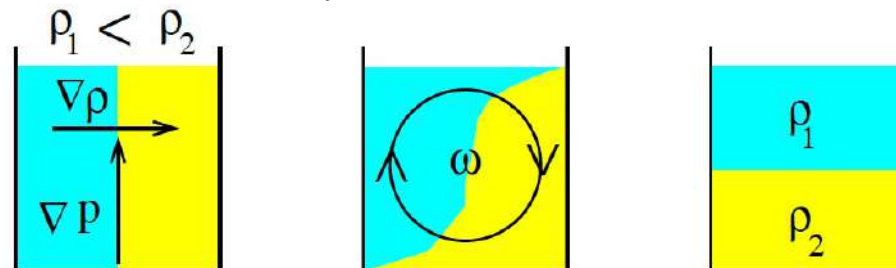
$$\nabla \cdot \mathbf{v} = 0 \quad \text{for incompressibility condition}$$

$$\nabla \cdot (\nabla \times \mathbf{v}) = 0 \quad (\text{vectorial identity})$$

- Au final

$$\frac{D\boldsymbol{\omega}}{Dt} = \frac{\partial \boldsymbol{\omega}}{\partial t} + \mathbf{v} \cdot \nabla \boldsymbol{\omega} = \boldsymbol{\omega} \cdot \nabla \mathbf{v} + \frac{\nabla \rho \times \nabla p}{\rho^2} + \nu \nabla^2 \boldsymbol{\omega}$$

- $\boldsymbol{\omega} \cdot \nabla \mathbf{v}$: vortex stretching (**=0 en 2D \rightarrow pas de redistribution vers les petites  chelles**)
- $\frac{\nabla \rho \times \nabla p}{\rho^2}$: terme barocline (=0 si masse volumique constante ou  coulement barotrope)



Vortex stretching et vortex tilting

- **Stretching** → transfert d'énergie vers les petites échelles

$$\omega = (\omega_1, 0, 0) \quad \frac{\partial u_1}{\partial x_1} > 0$$

- Eq. de continuité en coordonnées cylindriques :

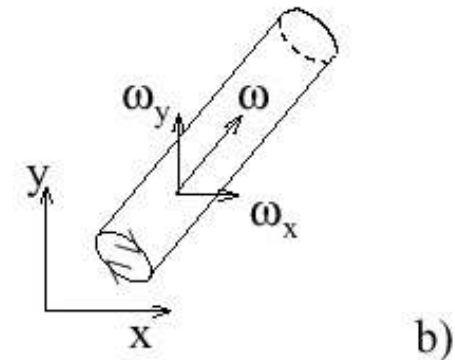
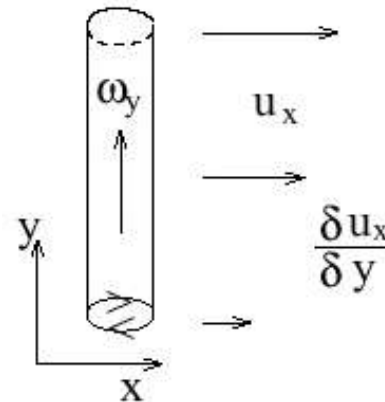
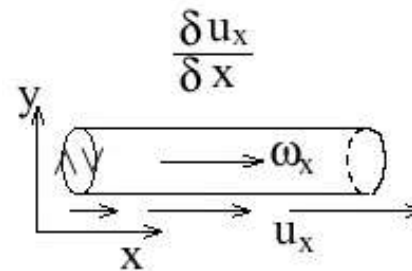
$$\frac{\partial u_1}{\partial x_1} + \frac{1}{x_2} \frac{\partial (x_2 u_2)}{\partial x_2} = 0$$

- $u_2 < 0$, le tourbillon **réduit sa section**
- Conservation du moment de la q. mvt

$$x_2^2 \omega_1 = cte \rightarrow \omega_1 \text{ augmente}$$

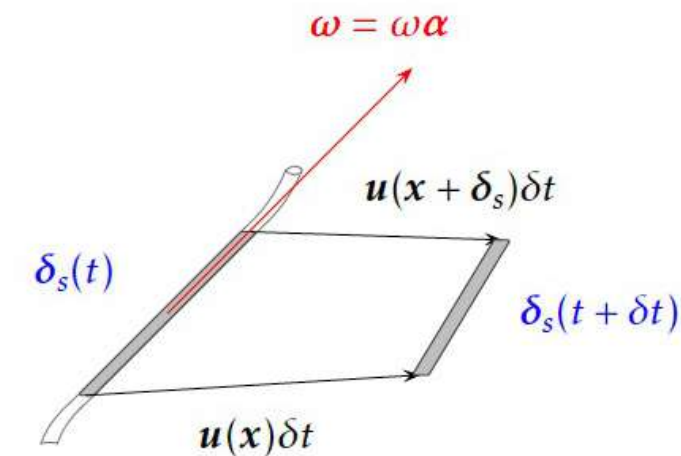
- **Tilting** → redistribution de vorticité en 3D

- Situation initiale : $\omega = (0, \omega_2, 0)$,
- Situation finale : $\omega_1 \neq 0$



Equation de transport de la vorticit  ( quation de Helmholtz)

- On  tudie   nouveau l' volution d'un filament tourbillonnaire soumis   un gradient de vitesse



tube (filament) of vorticity

$$\frac{\delta_s(t + dt) - \delta_s(t)}{dt} = u(x + \delta_s) - u(x)$$

Variation en temps de la longueur du filament

$$\frac{d\delta_s(t)}{dt} = \delta_s \cdot \nabla u$$

D veloppement limit    l'ordre 1

$$\tilde{\delta}_s = \|\delta_s\| = \delta_s \cdot \alpha \quad \alpha^2 = 1$$

Projection selon l'axe du tourbillon

$$\frac{d\tilde{\delta}_s}{dt} = \alpha \cdot (\delta_s \cdot \nabla u)$$

α est un vecteur unitaire constant

$$= \frac{\omega_i}{\omega} \left(\tilde{\delta}_s \frac{\omega_j}{\omega} \frac{\partial u_i}{\partial x_j} \right)$$

Expression en composantes Cart siennes

$$= \frac{\omega_i \omega_j}{\omega^2} \frac{\partial u_i}{\partial x_j} \tilde{\delta}_s$$

$$\frac{d\tilde{\delta}_s}{dt} = \frac{\omega}{|\omega|} \cdot \left(\frac{\omega}{|\omega|} \cdot \nabla u \right) \tilde{\delta}_s$$

Notation vectorielle

Equation de transport de la vorticit  ( quation de Helmholtz)

- On a trouv  $\frac{d\tilde{\delta}_s}{dt} = \frac{\omega}{|\omega|} \cdot \left(\frac{\omega}{|\omega|} \cdot \nabla \mathbf{u} \right) \tilde{\delta}_s$
- Le terme $(\omega \cdot \nabla \mathbf{u})$ n'est rien d'autre que le terme d' tirement des tourbillons!
- Si on n glige les forces de masse et visqueuses dans l' quation de Helmholtz, on a :

$$\frac{D\omega}{Dt} = \omega \cdot \nabla \mathbf{u}$$

- En projetant selon ω :

$$\omega \cdot (\omega \cdot \nabla \mathbf{u}) = \omega \cdot \frac{D\omega}{Dt} = \frac{D\left(\frac{|\omega|^2}{2}\right)}{Dt} = \frac{d\left(\frac{|\omega|^2}{2}\right)}{dt}$$

avec $\frac{|\omega|^2}{2}$ l'**enstrophie** \rightarrow  nergie cin tique rotationnelle du tourbillon

- La variation de longueur d'un tourbillon s' crit donc $\frac{d\tilde{\delta}_s}{dt} = \frac{1}{|\omega|^2} \frac{d\left(\frac{|\omega|^2}{2}\right)}{dt} \tilde{\delta}_s$, soit

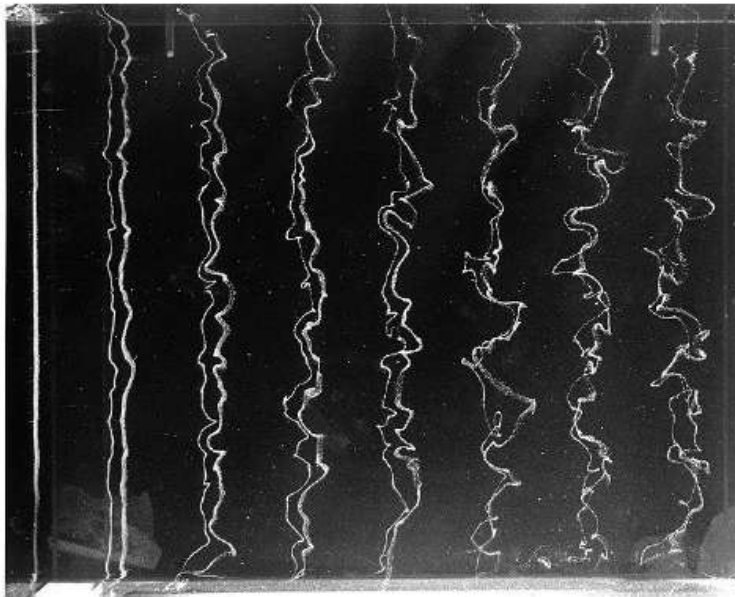
$$\frac{1}{\tilde{\delta}_s} \frac{d\tilde{\delta}_s}{dt} = \frac{1}{|\omega|^2} \frac{d\left(\frac{|\omega|^2}{2}\right)}{dt} \rightarrow \frac{|\omega|}{\tilde{\delta}_s} = cte$$

\rightarrow La longueur d'un filament tourbillonnaire est proportionnelle   sa vorticit 

\rightarrow Le m canisme d' tirement ne peut exister que dans un  coulement 3D

Exemple

- Observation expérimentale de la turbulence générée en aval d'une grille



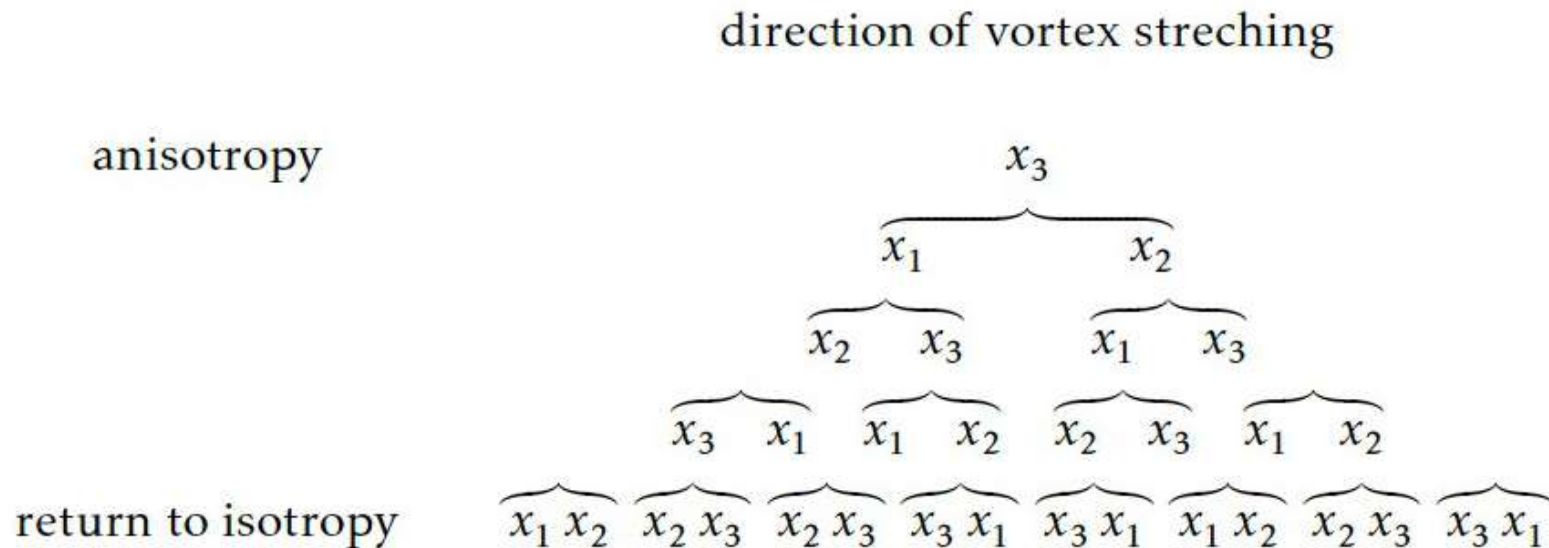
Growth of material lines in isotropic turbulence $Re_D = 1360$ (based on the grid rod diameter)

Corrsin & Karweit (1969)

The increase in vortex intensity, and thus in turbulent fluctuations, is accompanied by stretching of vorticity filaments, and the increase of distance between fluid particles : that is the origin of sensitivity to initial conditions.

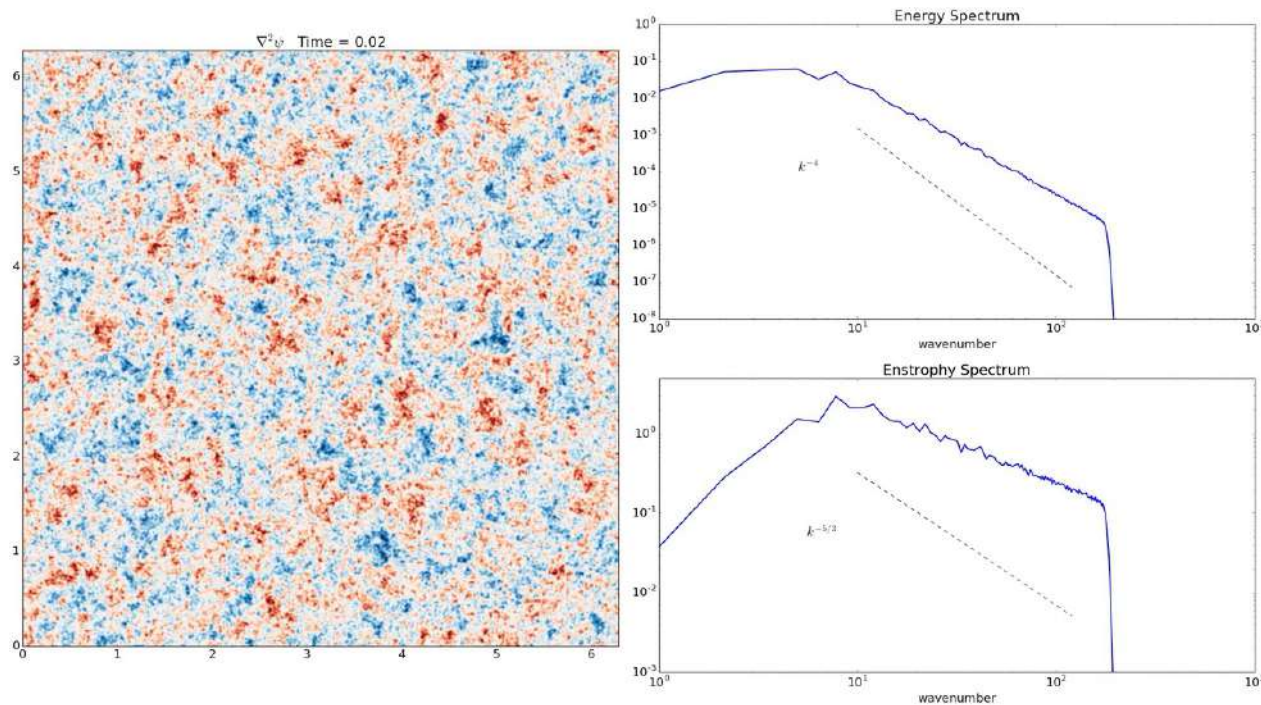
Vorticité et mécanisme de cascade : arbre de Bradshaw (1971)

- Illustration du mécanisme de cascade déjà observé par Richardson (1926)
 - Par effet des mécanismes de stretching et tilting la vorticité est transférée aux petites échelles et redistribuée en espace
 - Un écoulement initialement anisotrope **tend vers l'isotropie**



Turbulence 2D

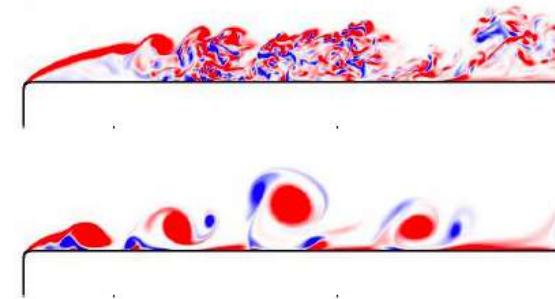
- Ecoulements géophysiques en couches minces, films, ...
- Dans un écoulement 2D la redistribution n'a pas lieu



J. C. McWilliams (1984). The emergence of isolated coherent vortices in turbulent flow. *Journal of Fluid Mechanics*, 146, pp 21-43 doi:10.1017/S0022112084001750

e)

Flow separation behind a rounded leading edge (3-D versus 2-D!)



Spanwise vorticity ω_z , from red to blue with $\omega_z = \pm 5U_\infty/H$, DNS with inflow perturbations $u'_{\text{inflow}} = 0.1\%U_\infty$ ($\eta = 0.125$)

Courtesy of Lamballais, Sylvestrini & Laizet
Int. Journal Heat Fluid Flow, 31, 2010

Vorticité et dissipation

- Nous avons vu le lien entre le mécanisme de cascade et la dynamique des tourbillons ;
lien **vorticité** et **dissipation** de l'énergie cinétique aux petites échelles (mécanisme d'arrêt de la cascade) ?
- **Equation de conservation de l'énergie mécanique**

$$\frac{\partial \left(\frac{1}{2} \mathbf{u} \cdot \mathbf{u} \right)}{\partial t} + \mathbf{u} \cdot \nabla \left(\frac{1}{2} \mathbf{u} \cdot \mathbf{u} \right) = -\frac{1}{\rho} \nabla \cdot (p \mathbf{u}) + \frac{1}{\rho} \nabla \cdot (\mathbf{u} \cdot \boldsymbol{\tau}_v) - 2\nu \mathbf{S} : \mathbf{S}$$

- On voit y apparaître le terme $\varepsilon = 2\nu \mathbf{S} : \mathbf{S} \rightarrow$ taux de dissipation
- Le travail des contraintes visqueuses $\boldsymbol{\tau}_v$ et le taux de dissipation peuvent être réécrits sous la forme

$$\frac{1}{\rho} \nabla \cdot (\mathbf{u} \cdot \boldsymbol{\tau}_v) = 2\nu \nabla \cdot (\mathbf{u} \cdot \nabla^T \mathbf{u}) + \nu \nabla \cdot (\mathbf{u} \times \boldsymbol{\omega}),$$

$$2\nu \mathbf{S} : \mathbf{S} = \nu \boldsymbol{\omega}^2 + 2\nu \nabla \cdot (\mathbf{u} \cdot \nabla^T \mathbf{u}),$$

avec $\nu \nabla \cdot (\mathbf{u} \cdot \nabla^T \mathbf{u}) = \nu \nabla^2 \left(\frac{\mathbf{u}^2}{2} \right) \rightarrow$ diffusion moléculaire d'énergie cinétique

Vorticité et dissipation (cont.)

- On a alors

$$\frac{\partial \left(\frac{1}{2} \mathbf{u} \cdot \mathbf{u} \right)}{\partial t} + \mathbf{u} \cdot \nabla \left(\frac{1}{2} \mathbf{u} \cdot \mathbf{u} \right) = -\frac{1}{\rho} \nabla \cdot (p \mathbf{u}) + \nu \nabla \cdot (\mathbf{u} \cdot \boldsymbol{\Omega}) - \nu \boldsymbol{\omega}^2$$

avec $\nu \nabla \cdot (\mathbf{u} \cdot \boldsymbol{\Omega}) = \nu \nabla \cdot (\mathbf{u} \times \boldsymbol{\omega})$ travail des forces visqueuses contre la **rotation rigide** des particules

$\boldsymbol{\Omega} = \frac{1}{2} (\nabla \mathbf{u} - (\nabla \mathbf{u})^T) \rightarrow$ taux de rotation

et $\nu \boldsymbol{\omega}^2$ **dissipation visqueuse** au sein des tourbillons

Nous rappelons que $\frac{1}{2} \boldsymbol{\omega}^2 = \frac{1}{2} \boldsymbol{\omega} \cdot \boldsymbol{\omega} = \frac{1}{2} |\boldsymbol{\omega}|^2 = ||\boldsymbol{\Omega}||^2$ représente l'**enstrophie**

- Les deux formes de l'équation d'énergie mécanique peuvent être intégrées sur un domaine matériel de fluide D .
 - Après quelques manipulations, on arrive à

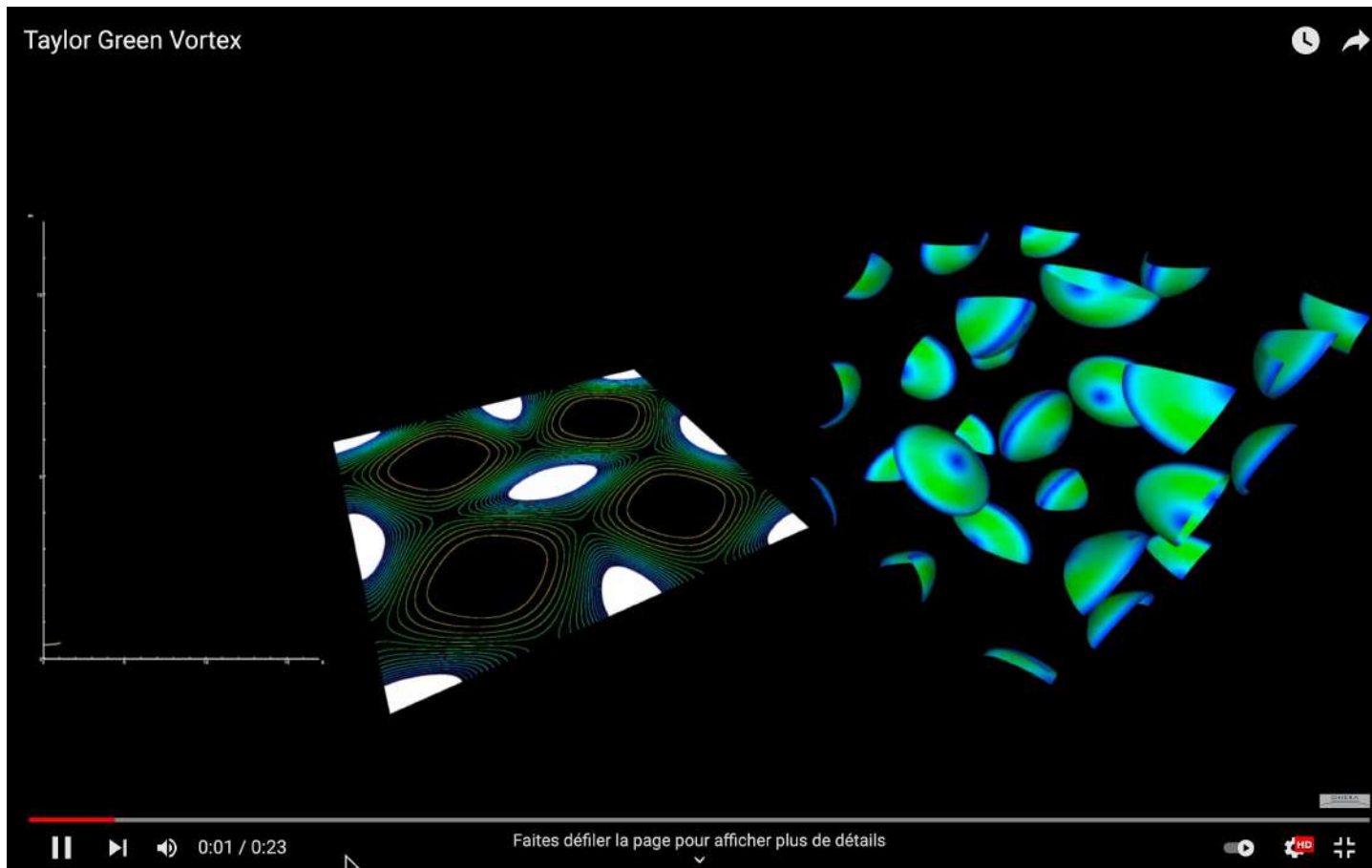
$$\frac{d}{dt} \int_D \frac{1}{2} \mathbf{u} \cdot \mathbf{u} dV = - \int_D \varepsilon dV = -2\nu \int_D \boldsymbol{\Omega} dV$$

→ **Dualité taux de dissipation/enstrophie sur un volume**

Enstrophie et dissipation

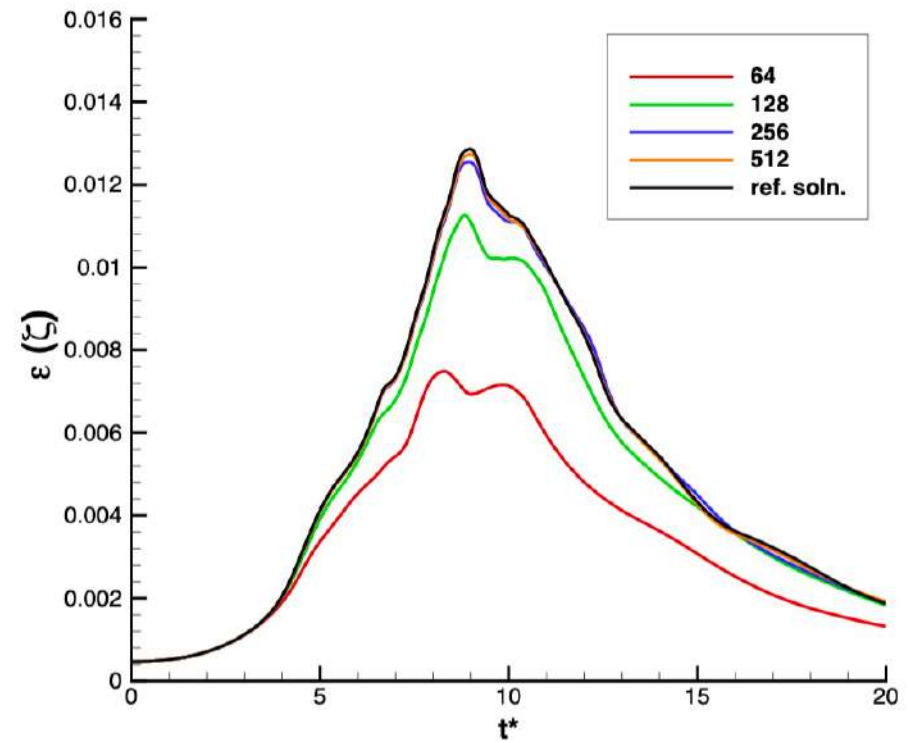
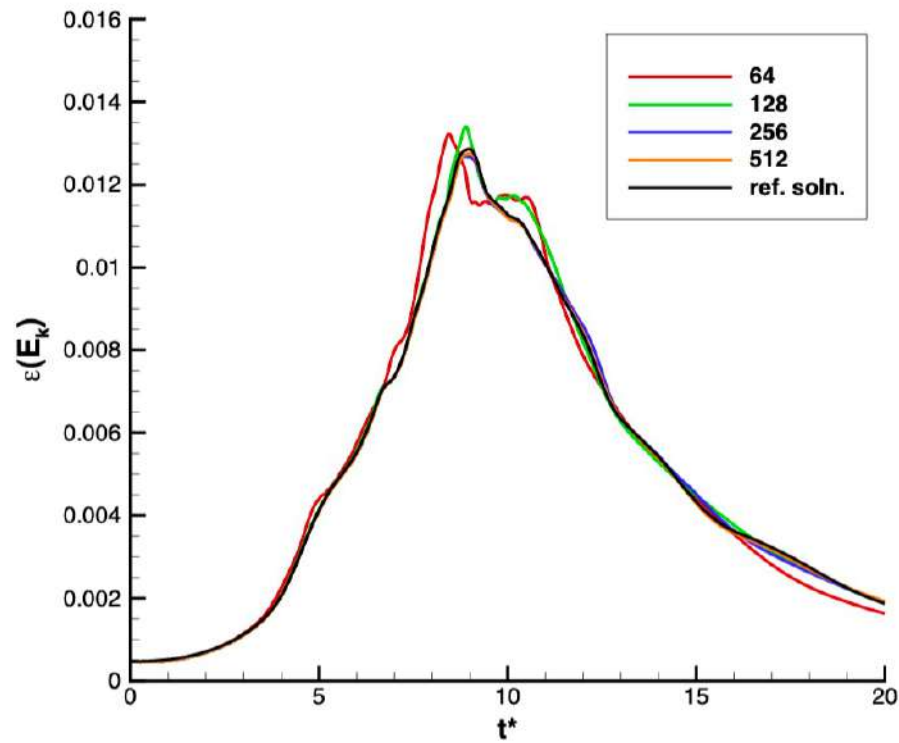
- Prenons de nouveau l'exemple du TGV

- Vidéo :



Enstrophie et dissipation

- Prenons de nouveau l'exemple du TGV



Equation de transport pour l'enstrophie

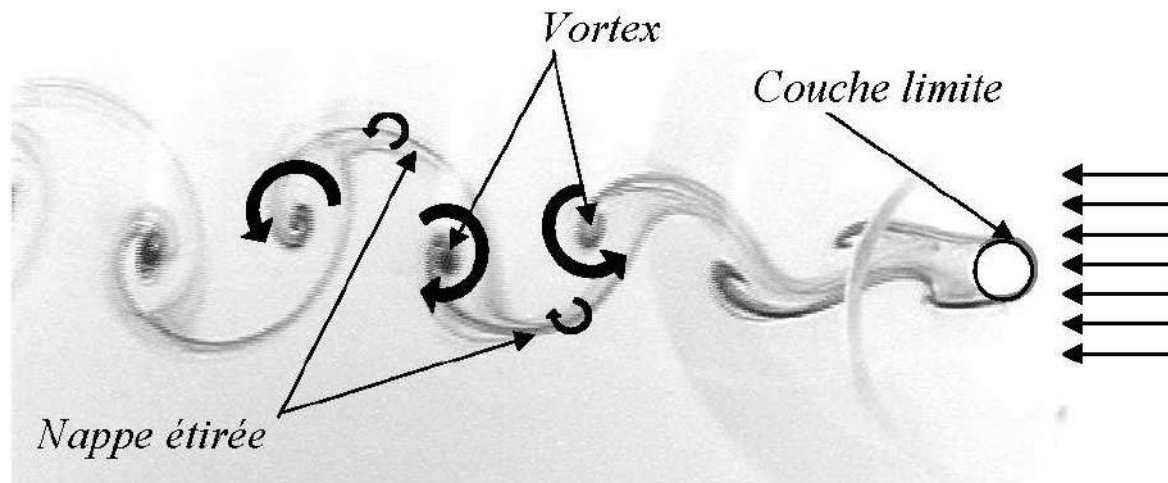
- L'équation de transport de l'enstrophie pour un écoulement dans forces de masse s'écrit

$$\frac{D}{Dt} \left(\frac{\omega^2}{2} \right) = \boldsymbol{\omega} \cdot (\boldsymbol{\omega} \cdot \nabla \mathbf{u}) + \nu \nabla^2 \left(\frac{\omega^2}{2} \right) - \nu \nabla \boldsymbol{\omega} : \nabla \boldsymbol{\omega}$$

- Pour un écoulement non visqueux, la seule source de variation d'enstrophie pour est l'étirement des tourbillons
- Pour un écoulement 2D non visqueux, l'enstrophie reste constante en temps.

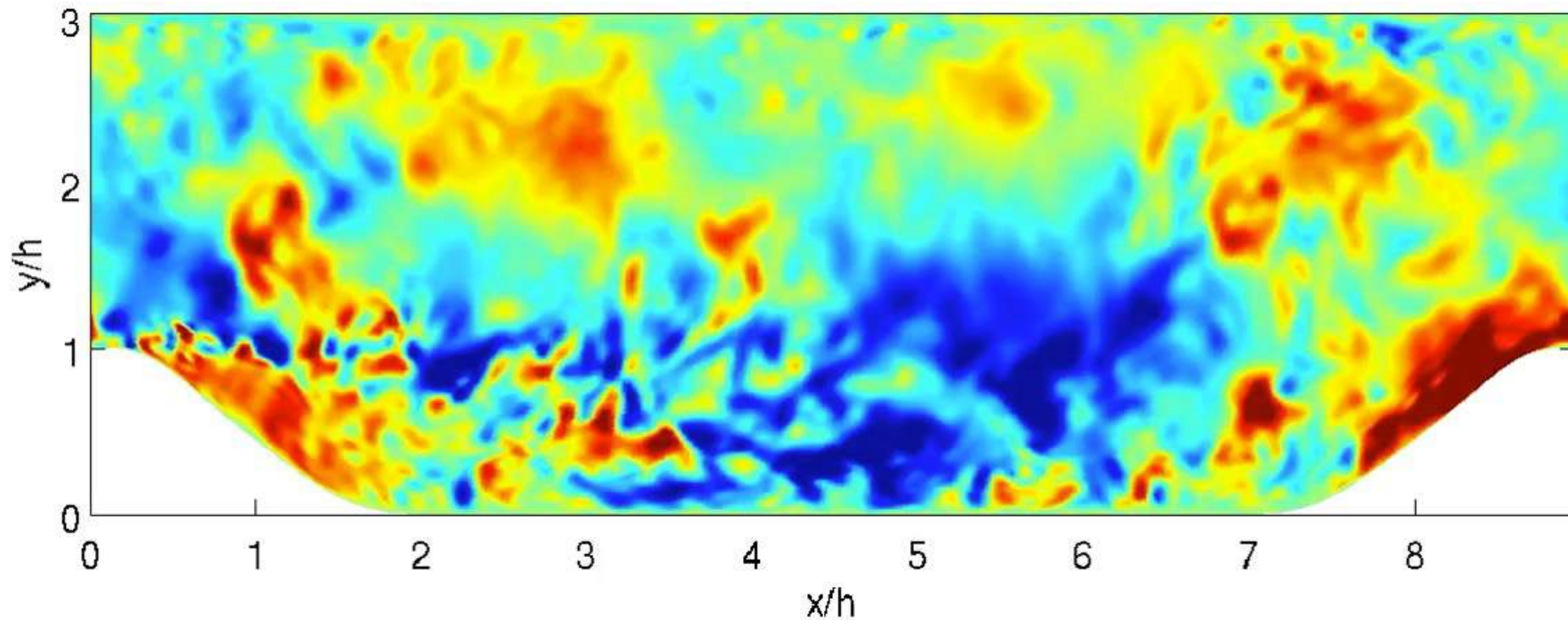
Critères d'identification des tourbillons

- Tourbillon : région de vorticit  concentr e → visualisation   l'aide d'**isosurfaces de vorticit **
 - La vorticit  d'un  coulement non visqueux se conserve le long d'une surface mat rielle (Th Kelvin)
 - Pas de seuil clairement d fini → crit re arbitraire
 - On peut avoir une nappe tourbillonnaire dans un  coulement parall le (couche limite, couche de m lange)
 - Invariance Galil enne non v rifi e



Critères d'identification des tourbillons

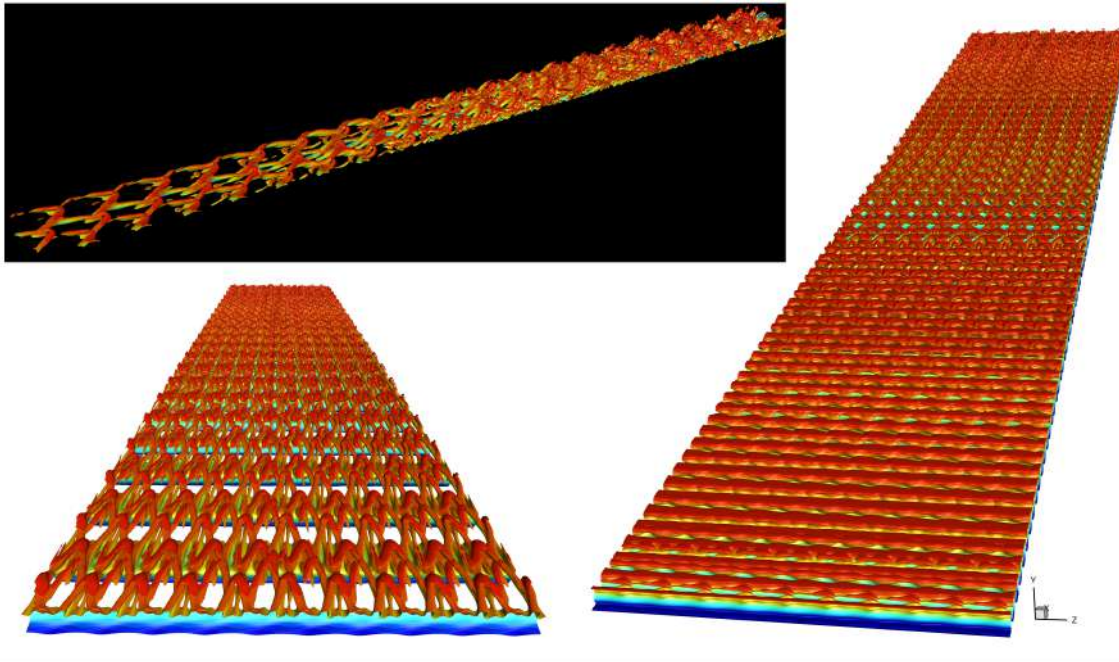
- Un tourbillon tend à engendrer un **minimum de pression** en son centre
 - Pas simple à vérifier, arbitraire



Pression instantanée dans un canal avec restrictions périodiques
Gloerfelt&Cinnella, AIAA Paper 2015-2480, 2015

Critères d'identification des tourbillons

- Critères basés sur les invariants du gradient de vitesse $\nabla \mathbf{u} = \mathbf{S} + \mathbf{\Omega}$
 - Critère Q (Hunt, Wray & Moin, 1988) : $Q = \frac{1}{2}(\mathbf{\Omega}^2 - \mathbf{S}^2) \rightarrow$ dans un tourbillon la vorticit  domine par rapport   la d formation, $Q > 0$
 - Deuxi me invariant de $\nabla \mathbf{u}$ (deuxi me coefficient du polyn me caract ristique) : $\lambda^3 - \text{tr}(\nabla \mathbf{u})\lambda^2 + \frac{1}{2}Q\lambda + \det(\nabla \mathbf{u}) = 0$
 - Il n'est pas garanti que la r gion identifi e corresponde   un minimum de pression

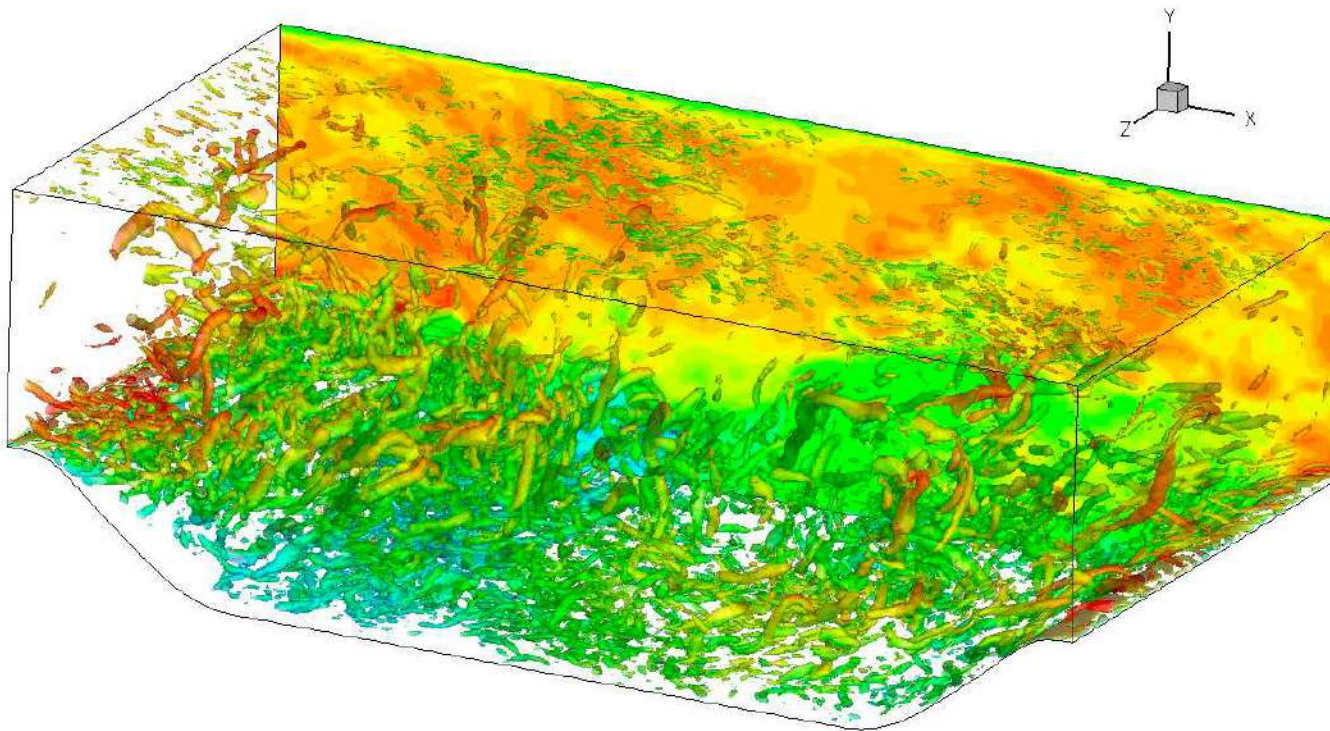


Tourbillons dans une couche limite transitionnelle   Mach 10 :
Crit re Q color  par la vitesse

(Passiatore, Sciacovelli, Cinnella,
Pascazio, Phys Rev Fluids, 2021)

Critères d'identification des tourbillons

- Critères basés sur les invariants du gradient de vitesse $\nabla \mathbf{u} = \mathbf{S} + \mathbf{\Omega}$
 - Critère λ_2 (Jeong & Hussain, 1995) : la seconde valeur propre de $\mathbf{S}^2 + \mathbf{\Omega}^2 = -\nabla(\nabla p)$ pour un tourbillon stationnaire non visqueux \rightarrow correspond à un minimum de pression car alors deux valeurs propres sont négatives



Visualisation de tourbillons dans un canal avec restrictions périodiques

(Gloerfelt&Cinnella,
AIAA Paper 2015-2480, 2015)

2. Exercices

Pope Chapitre 2

- 2.9 Show that the Navier–Stokes equations (Eq. (2.35)) can be written in the *Stokes form*

$$\frac{\partial \mathbf{U}}{\partial t} - \mathbf{U} \times \boldsymbol{\omega} + \nabla \left(\frac{1}{2} \mathbf{U} \cdot \mathbf{U} + \frac{p}{\rho} \right) = \nu \nabla^2 \mathbf{U}. \quad (2.66)$$

Hence obtain *Bernoulli's theorem*: for a steady, inviscid, constant-density flow, the Bernoulli integral,

$$H \equiv \frac{1}{2} \mathbf{U} \cdot \mathbf{U} + \frac{p}{\rho}, \quad (2.67)$$

is constant

- (a) along streamlines,
- (b) along vortex lines (i.e., lines parallel to $\boldsymbol{\omega}$), and
- (c) everywhere in irrotational flow ($\boldsymbol{\omega} = 0$).

- 2.10 Show that the vorticity squared – or *enstrophy* – $\omega^2 = \boldsymbol{\omega} \cdot \boldsymbol{\omega}$ evolves by

$$\frac{D\omega^2}{Dt} = \nu \nabla^2 \omega^2 + 2\omega_i \omega_j \frac{\partial U_i}{\partial x_j} - 2\nu \frac{\partial \omega_i}{\partial x_j} \frac{\partial \omega_i}{\partial x_j}. \quad (2.68)$$

Etirement de la vorticit  et  chelle de Burgers

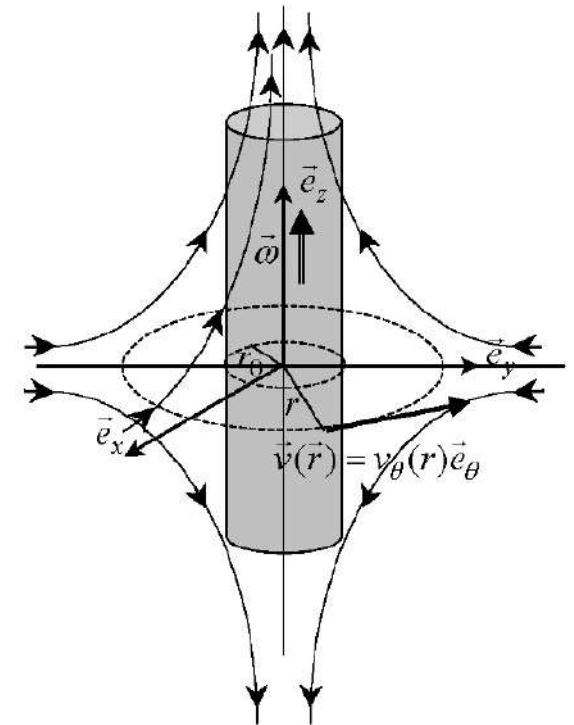
- L' quation de la vorticit  sans viscosit  s' crit (en 3D) :

$$\frac{D\boldsymbol{\omega}}{Dt} = \boldsymbol{\omega} \cdot \nabla \mathbf{u} = \boldsymbol{\omega} \cdot \mathbf{S}$$

- On se place dans le rep re principal de \mathbf{S} . Dans ce rep re $\mathbf{S} = \begin{bmatrix} \lambda_1 & 0 & 0 \\ 0 & \lambda_2 & 0 \\ 0 & 0 & \lambda_3 \end{bmatrix}$ avec $\lambda_1 + \lambda_2 + \lambda_3 = 0$
- Int grer l' quation pr c dente et en d duire le comportement des composantes de vorticit  en temps
- Quand est-ce que la vorticit  cessera de cro tre?

Etirement de la vorticit  et  chelle de Burgers

- Consid rons d sormais un tourbillon de Lamb-Oseen. Il s'agit d'une solution exacte des  quations de Navier Stokes correspondant   l' volution d'un vortex 2D ponctuel sous l'effet de la viscosit .
 - Champ de vorticit  :
 - $\omega_z(r,t) = \frac{\Gamma_0}{\pi r_0^2(t)} \exp\left(-\frac{r^2}{r_0^2(t)}\right), \omega_r = \omega_\theta = 0$
 - Calculer le champ de vitesse, de la forme $(0, v_\theta(r, t), 0)$
 - On superpose   ce vortex un champ de d formation le soumettant   un  tirement :
 - $v_r = -\frac{1}{2}\gamma r, v_\theta = 0; v_z = \gamma z$
 - Les valeurs propres dans la base du taux de d formation sont $\left(-\frac{\gamma}{2}, -\frac{\gamma}{2}, \gamma\right)$
 - Int grer l' quation de la vorticit  et montrer que
 - La vorticit  reste align e avec l'axe du tourbillon
 - la vorticit  au centre diverge de fa on exponentielle



Etirement de la vorticit  et  chelle de Burgers

- Le r le de la viscosit  consiste   arr ter la divergence de la vorticit  et donc le processus d' tirement, lorsque le tourbillon atteint une  chelle caract ristique appel e ** chelle de Burgers**.
- On appelle δ la taille caract ristique du tourbillon (taille du c ur)
- En utilisant l'analyse dimensionnelle, estimer un temps caract ristique de la diffusion visqueuse et de l' tirement du tourbillon
- En  quilibrant ces deux temps caract ristiques, d duire une  chelle de longueur, dite ** chelle de Burgers**, telle que l' volution du tourbillon s'arr te (les m canismes d' tirement et de dissipation se compensent)

Next time...

- QCM de 10 minutes sur Wooclap
- Etude statistique de la turbulence : les échelles de la turbulence ; les équations de Reynolds et le problème de fermeture ; anatomie d'un modèle de turbulence
- TD sur les équations moyennées